

Comunicação
oral

Wagner
Wolff

Introdução

Materiais e
métodos

Área de estudo

Modelagem
geoestatística

Predição
espacial

Resultados

Conclusion

Referências

Abordagem geoestatística para mapeamento da chuva a partir de enlaces comerciais de micro-ondas

Wagner Wolff

Escola Superior de Agricultura “Luiz de Queiroz” (ESALQ-USP)
Departamento de Engenharia de Biossistemas

21 de novembro de 2018

Introdução

Comunicação
oral

Wagner
Wolff

Introdução

Materiais e
métodos

Área de estudo

Modelagem
geoestatística

Predição
espacial

Resultados

Conclusion

Referências

Importância



[fonte] Imagens Google.

Introdução

Comunicação
oral

Wagner
Wolff

Introdução

Materiais e
métodos

Área de estudo

Modelagem
geoestatística

Predição
espacial

Resultados

Conclusion

Referências

Como a chuva é medida?



[fonte] Imagens Google.

Introdução

Comunicação
oral

Wagner
Wolff

Introdução

Materiais e
métodos

Área de estudo

Modelagem
geoestatística

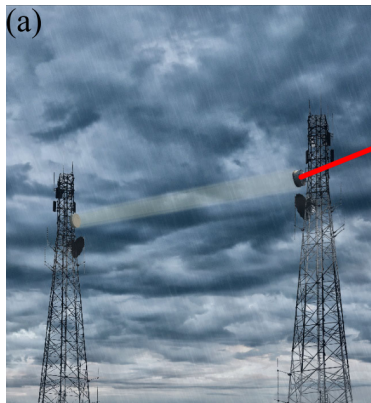
Predição
espacial

Resultados

Conclusion

Referências

Enlaces de micro-ondas



[fonte] Overeem et al. (2013, 2016).

Introdução

Comunicação
oral

Wagner
Wolff

Introdução

Materiais e
métodos

Área de estudo

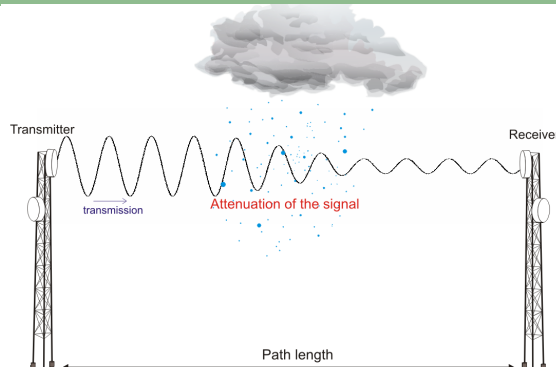
Modelagem
geoestatística

Predição
espacial

Resultados

Conclusion

Referências



[fonte] Environmental Remote Sensing Laboratory EPFL – LTE (Schleiss and Bianchi).

Relação chuva atenuação, $R - k$ (Atlas and Ulbrich, 1977; Olsen et al., 1978).

$$\overline{R} = a \overline{k}^b \quad (1)$$

Em que: R (mm h^{-1}), k (dB km^{-1}), a ($\text{mm h}^{-1} \text{ dB}^{-b} \text{ km}^b$) e b (-).

Introdução

Comunicação
oral

Wagner
Wolff

Introdução

Materiais e
métodos

Área de estudo

Modelagem
geoestatística

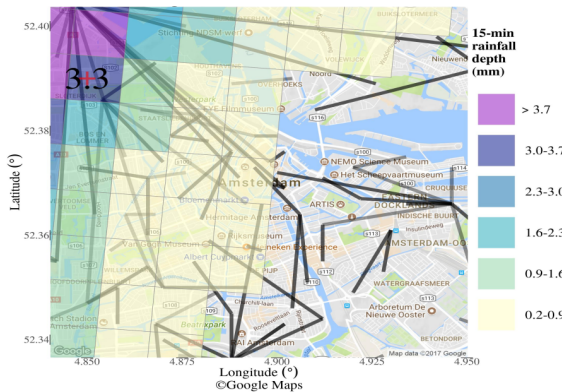
Predição
espacial

Resultados

Conclusion

Referências

RAINLINK



GitHub

Empregado no Brasil, Holanda, Itália e Paquistão.

Introdução

Comunicação
oral

Wagner
Wolff

Introdução

Materiais e
métodos

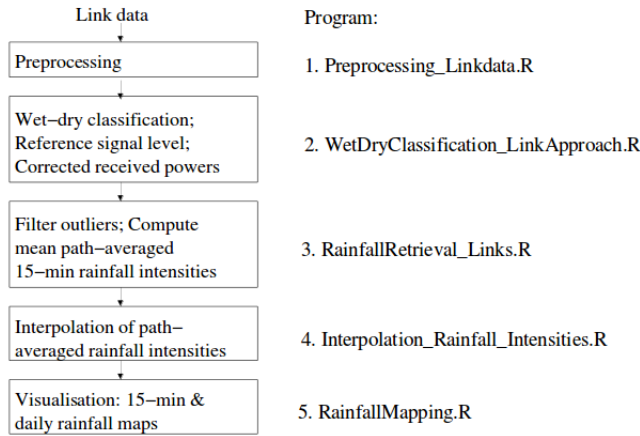
Área de estudo
Modelagem
geoestatística
Predição
espacial

Resultados

Conclusion

Referências

RAINLINK



Fluxograma de processamento do RAINLINK (Overeem et al., 2016).

Área de estudo

Comunicação
oral

Wagner
Wolff

Introdução

Materiais e
métodos

Área de estudo

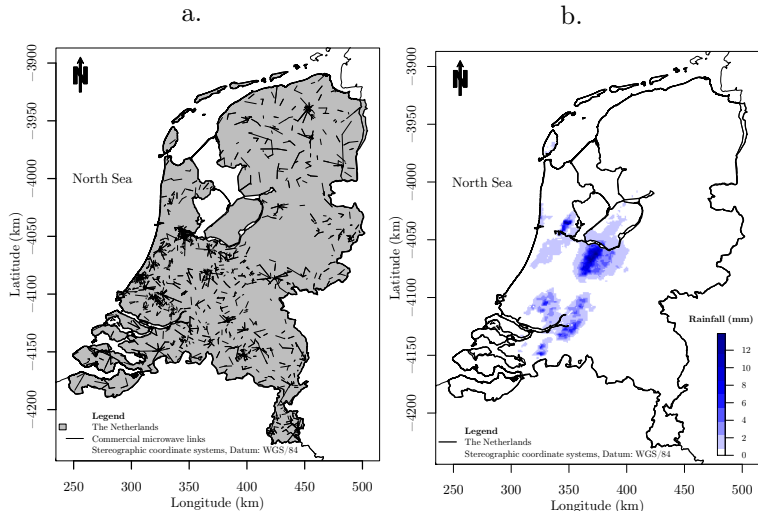
Modelagem
geoestatística

Predição
espacial

Resultados

Conclusion

Referências



(a) – Rede de enlaces de micro-ondas de comunicação celular (2472 caminhos) em 10-09-2011, e (b) – chuva acumulada de 15 minutos para o radar ajudado por pluviômetros (KNMI radar) em 10-09-2011 20:30.

Modelagem geoestatística

Comunicação
oral

Wagner
Wolff

Introdução

Materiais e
métodos

Área de estudo

Modelagem
geoestatística

Predição
espacial

Resultados

Conclusion

Referências

Model-based Geostatistics (Diggle and Ribeiro, 2007).

Modelo linear gaussiano geoestatístico (LGM)

$$R \sim NMV(\mu, \Sigma) : R \in \mathbb{R} \geq 0 \quad (2)$$

$$\mu = D\hat{\beta}$$

$$\Sigma = \sigma^2 \exp\left(-\frac{U}{\phi}\right) + I\tau^2$$

Modelagem geoestatística

Comunicação
oral

Wagner
Wolff

Introdução

Materiais e
métodos

Área de estudo

Modelagem
geoestatística

Predição
espacial

Resultados

Conclusion

Referências

Model-based Geostatistics (Diggle and Ribeiro, 2007).

Modelo linear gaussiano geoestatístico (LGM)

$$R \sim NMV(\mu, \Sigma) : R \in \mathbb{R} \geq 0 \quad (2)$$

$$\mu = D\hat{\beta}$$

$$\Sigma = \sigma^2 \exp\left(-\frac{U}{\phi}\right) + I\tau^2$$

Parâmetros, $\hat{\theta} = (\hat{\beta}, \sigma^2, \phi, \tau^2)$, são estimados pela maximização função log-verossimilhança.

$$l(\hat{\theta}) = -\frac{n}{2} \log(2\pi) - \frac{1}{2} |\Sigma| - \frac{1}{2} \left(R - D\hat{\beta} \right)^T \Sigma^{-1} \left(R - D\hat{\beta} \right) \quad (3)$$

Mudança do suporte

Comunicação
oral

Wagner
Wolff

Introdução
Materiais e
métodos

Área de estudo

Modelagem
geoestatística

Predição
espacial

Resultados

Conclusion

Referências

Top-kriging – geostatistics on stream networks (Skøien et al., 2005).

$$Z(A) = \frac{1}{|A|} \int_A z(\vec{x}) d\vec{x} \quad (4)$$

Distance measures for hydrological data having a support
(Gottschalk et al., 2011)

$$\mathbb{E}(d) = \mathbb{E}(F(d))$$

A distância de Ghosh (1951).

$$\bar{d} = \frac{1}{L^2} \int_0^L \int_0^L |x_1 - x_2| dx_1 dx_2$$

$$\bar{d} = \frac{L}{3} \quad (5)$$

Mudança do suporte

Comunicação
oral

Wagner
Wolff

Introdução
Materiais e
métodos

Área de estudo

Modelagem
geoestatística

Predição
espacial

Resultados

Conclusion

Referências

Top-kriging – geostatistics on stream networks (Skøien et al., 2005).

$$Z(A) = \frac{1}{|A|} \int_A z(\vec{x}) d\vec{x} \quad (4)$$

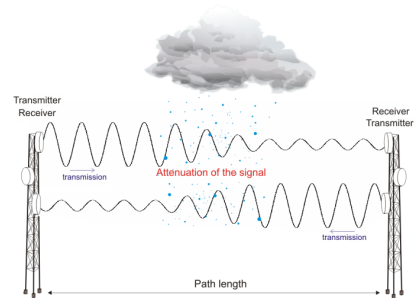
Distance measures for hydrological data having a support (Gottschalk et al., 2011)

$$\mathbb{E}(d) = \mathbb{E}(F(d))$$

A distância de Ghosh (1951).

$$\bar{d} = \frac{1}{L^2} \int_0^L \int_0^L |x_1 - x_2| dx_1 dx_2$$

$$\bar{d} = \frac{L}{3} \quad (5)$$



Padronização dos enlaces

Comunicação
oral

Wagner
Wolff

Introdução

Materiais e
métodos

Área de estudo

Modelagem
geoestatística

Predição
espacial

Resultados

Conclusion

Referências

$$\vec{u}_1 = \frac{\vec{t}_1 + \vec{r}_1}{2}, \quad \vec{v}_1 = \frac{\vec{t}_1 - \vec{r}_1}{2}$$

$$\vec{u}_2 = \frac{\vec{t}_2 + \vec{r}_2}{2}, \quad \vec{v}_2 = \frac{\vec{t}_2 - \vec{r}_2}{2}$$

$$\text{Link}_1 = \vec{u}_1 + k_1 \vec{v}_1 : k_1 \in [-1, 1]$$

$$\text{Link}_2 = \vec{u}_2 + k_2 \vec{v}_2 : k_2 \in [-1, 1]$$

$$\bar{d}^2 = \frac{1}{4} \int_{-1}^1 \int_{-1}^1 \left\| (\vec{u}_1 + k_1 \vec{v}_1) - (\vec{u}_2 + k_2 \vec{v}_2) \right\|^2 dk_1 dk_2$$

$$\bar{d} = \frac{1}{4} \int_{-1}^1 \int_{-1}^1 \sqrt{A + B_1 k_1 + B_2 k_2 + C_1 k_1^2 + C_2 k_2^2 + C_3 k_1 k_2} dk_1 dk_2 \quad (6)$$

Predição espacial

Comunicação
oral

Wagner
Wolff

Introdução

Materiais e
métodos

Área de estudo

Modelagem
geoestatística

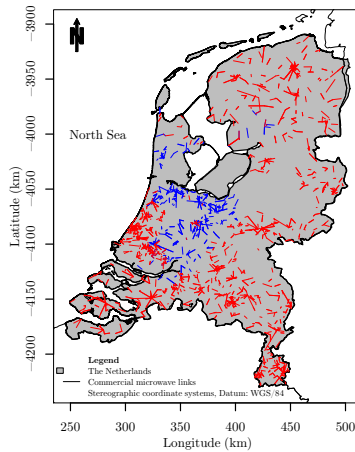
Predição
espacial

Resultados

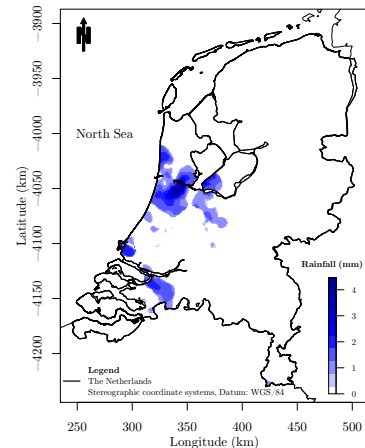
Conclusion

Referências

a.



b.



(a) – Abordagem de krigagem aplicada (Kriglink). Enlaces que mediram chuva (azul) enlaces sem medição de chuva (vermelhos) (b) – máscara entre krigagem ordinária para quantidade de chuva e krigagem indicativa para probabilidade de ocorrência da chuva.

Performance da abordagem proposta

Comunicação
oral

Wagner
Wolff

Introdução

Materiais e
métodos

Área de estudo

Modelagem
geoestatística

Predição
espacial

Resultados

Conclusion

Referências

Spatial Efficiency Metric (SPAEF) Demirel et al. (2018).

$$\text{SPAEF} = 1 - \sqrt{(\alpha - 1)^2 + (\beta - 1)^2 + (\gamma - 1)^2}, \quad (7)$$

$$\alpha = \rho(A, B),$$

$$\beta = \left(\frac{\sigma_A}{\mu_A} \right) / \left(\frac{\sigma_B}{\mu_B} \right),$$

$$\gamma = \frac{\sum_{j=1}^n \min(K_j, L_j)}{\sum_{j=1}^n K_j}.$$

Mapeamento

Comunicação
oral

Wagner
Wolff

Introdução

Materiais e
métodos

Área de estudo

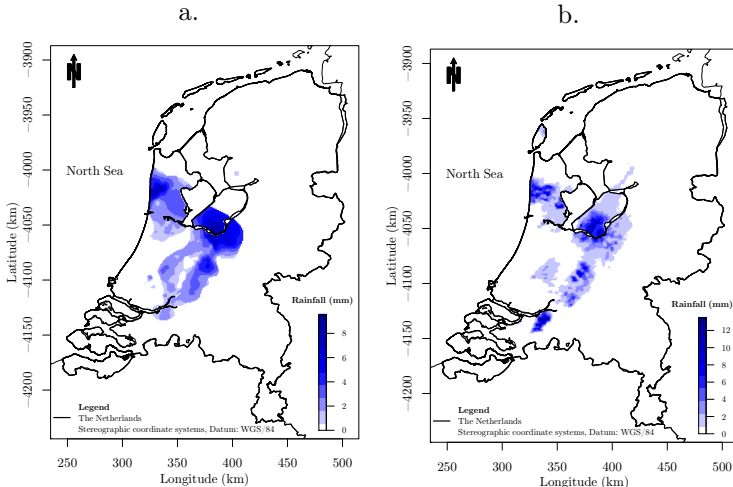
Modelagem
geoestatística

Predição
espacial

Resultados

Conclusion

Referências



Mapas de quantidade de chuva. (a) – krigagem em 10-09-2011 20:45 (b) – radar corrigido por estações pluviométricas em 10-09-2011 20:45.

Performance

Comunicação
oral

Wagner
Wolff

Introdução

Materiais e
métodos

Área de estudo

Modelagem
geoestatística

Predição
espacial

Resultados

Conclusion

Referências

Spatial Efficiency Metric (SPAEOF) Demirel et al. (2018).

- ① Abordagem proposta (Kriglink): 0.68;
- ② Krigagem ordinária - RAINLINK: 0.65;
- ③ Inverso da distância ao quadrado - RAINLINK: 0.34.

Conclusão

Comunicação
oral

Wagner
Wolff

Introdução
Materiais e
métodos

Área de estudo
Modelagem
geoestatística
Predição
espacial

Resultados

Conclusion

Referências

- ① Parâmetros do modelo geoestatístico são ajustados diretamente utilizando a intensidade de chuva média ao longo dos enlaces obtida pelo RAINLINK;
- ② A topologia de linha dos enlaces de micro-ondas é considerada no processo de mapeamento;
- ③ Os resultados destacaram uma baixa melhora comparada com as abordagens padrões que consideram os enlaces como pontos.
- ④ Tópicos em progresso: (i) inferência bayesiana, (ii) Modelo espaço temporal.

- Atlas, D., Ulbrich, C. W., 1977. Path- and Area-Integrated Rainfall Measurement by Microwave Attenuation in the 1–3 cm Band. *Journal of Applied Meteorology* 16 (12), 1322–1331.
- URL [http://dx.doi.org/10.1175/1520-0450\(1977\)016{1322:PAAIRM}{2.0.CO;2}](http://dx.doi.org/10.1175/1520-0450(1977)016{1322:PAAIRM}{2.0.CO;2})
- Demirel, M. C., Mai, J., Mendiguren, G., Koch, J., Samaniego, L., Stisen, S., 2018. Combining satellite data and appropriate objective functions for improved spatial pattern performance of a distributed hydrologic model. *Hydrology and Earth System Sciences* 22 (2), 1299–1315.
- Diggle, P., Ribeiro, P. J., 2007. Model-based Geostatistics. Springer Series in Statistics. Springer New York, New York, USA.
- URL <http://link.springer.com/10.1007/978-0-387-48536-2>
- Ghosh, B., 1951. Random distances within a rectangle and between two rectangles. *Bulletin of the Calcutta Mathematical Society* (43).
- Gottschalk, L., Leblois, E., Skøien, J. O., 2011. Distance measures for hydrological data having a support. *Journal of Hydrology* 400, 10–20.

402 (3-4), 415–421.

URL <http://dx.doi.org/10.1016/j.jhydrol.2011.03.020>
<http://linkinghub.elsevier.com/retrieve/pii/S0022169411001909>

Olsen, R., Rogers, D., Hodge, D., 1978. The aR^b Relation in the Calculation of Rain Attenuation. IEEE Transactions on Antennas and Propagation 26 (2), 318–329.

URL <http://ieeexplore.ieee.org/document/1141845/>

Overeem, A., Leijnse, H., Uijlenhoet, R., 2013. Country-wide rainfall maps from cellular communication networks. Proceedings of the National Academy of Sciences 110 (8), 2741–2745.

Overeem, A., Leijnse, H., Uijlenhoet, R., 2016. Retrieval algorithm for rainfall mapping from microwave links in a cellular communication network. Atmospheric Measurement Techniques 9 (5), 2425–2444.

Skøien, J. O., Merz, R., Blöschl, G., 2005. Top-kriging – geostatistics on stream networks. Hydrology and Earth System Sciences Discussions 2 (6), 2253–2286.

URL <http://www.hydrol-earth-syst-sci-discuss.net/2/2253/2005/>